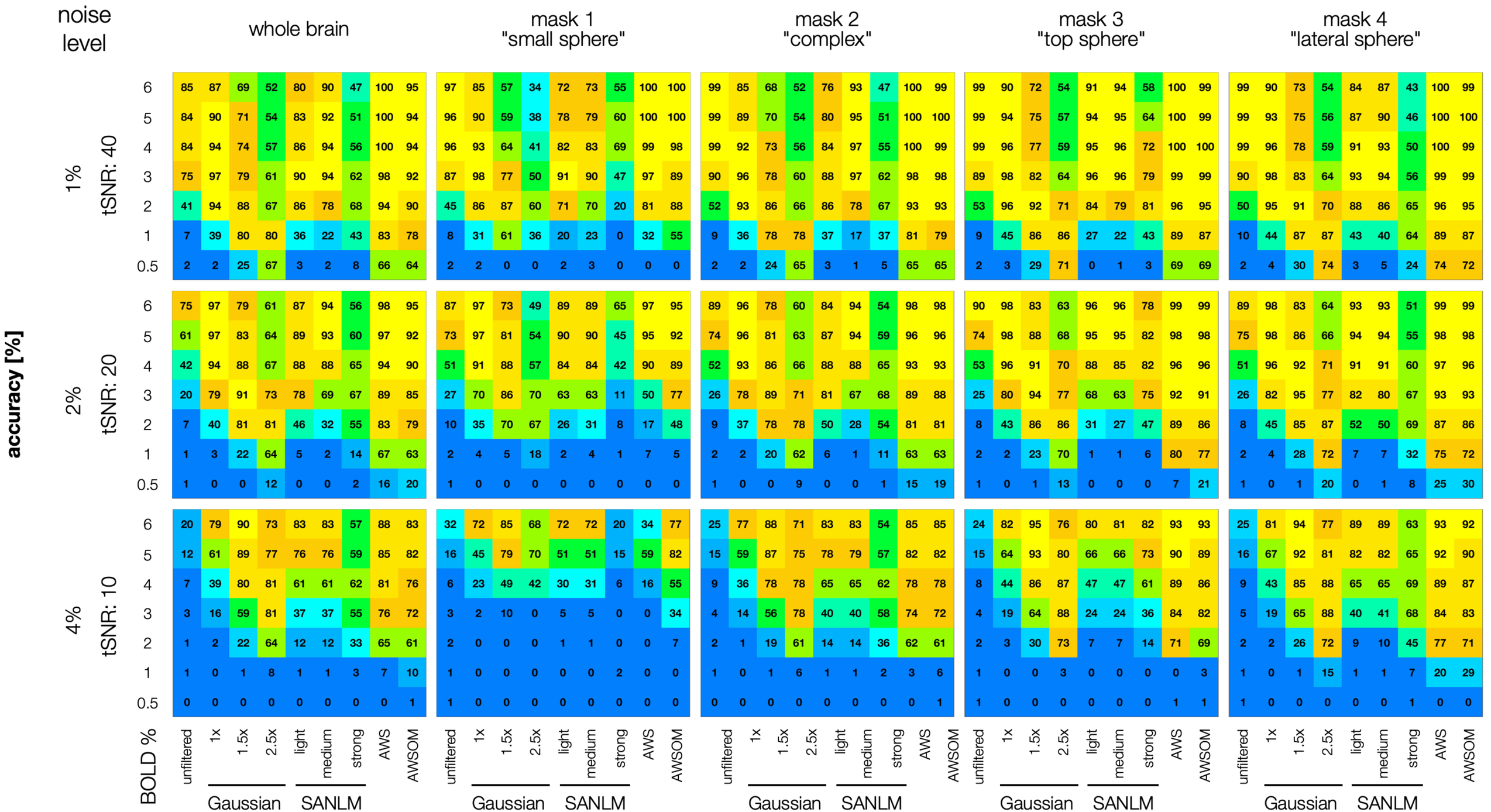
noise level
whole brain
mask 1 "small sphere"
mask 2 "complex"
mask 3 "top sphere"
mask 4 "lateral sphere"
accuracy [%]
1% tSNR: 40
2% tSNR: 20
4% tSNR: 10
BOLD %
6 85 87 69 52 80 90 47 100 95
5 84 90 71 54 83 92 51 100 94
4 84 94 74 57 86 94 56 100 94
3 75 97 79 61 90 94 62 98 92
2 41 94 88 67 86 78 68 94 90
1 7 39 80 80 36 22 43 83 78
0.5 2 2 25 67 3 2 8 66 64
6 97 85 57 34 72 73 55 100 100
5 96 90 59 38 78 79 60 100 100
4 96 93 64 41 82 83 69 99 98
3 87 98 77 50 91 90 47 97 89
2 45 86 87 60 71 70 20 81 88
1 8 31 61 36 20 23 0 32 55
0.5 2 2 0 0 2 3 0 0 0
6 99 85 68 52 76 93 47 100 99
5 99 89 70 54 80 95 51 100 100
4 99 92 73 56 84 97 55 100 99
3 90 96 78 60 88 97 62 98 98
2 52 93 86 66 86 78 67 93 93
1 9 36 78 78 37 17 37 81 79
0.5 2 2 24 65 3 1 5 65 65
6 99 90 72 54 91 94 58 100 99
5 99 94 75 57 94 95 64 100 99
4 99 96 77 59 95 96 72 100 100
3 89 98 82 64 96 96 79 99 99
2 53 96 92 71 84 79 81 96 95
1 9 45 86 86 27 22 43 89 87
0.5 2 3 29 71 0 1 3 69 69
6 99 90 73 54 84 87 43 100 99
5 99 93 75 56 87 90 46 100 100
4 99 96 78 59 91 93 50 100 99
3 90 98 83 64 93 94 56 99 99
2 50 95 91 70 88 86 65 96 95
1 10 44 87 87 43 40 64 89 87
0.5 2 4 30 74 3 5 24 74 72
6 75 97 79 61 87 94 56 98 95
5 61 97 83 64 89 93 60 97 92
4 42 94 88 67 88 88 65 94 90
3 20 79 91 73 78 69 67 89 85
2 7 40 81 81 46 32 55 83 79
1 1 3 22 64 5 2 14 67 63
0.5 1 0 0 12 0 0 2 16 20
6 87 97 73 49 89 89 65 97 95
5 73 97 81 54 90 90 45 95 92
4 51 91 88 57 84 84 42 90 89
3 27 70 86 70 63 63 11 50 77
2 10 35 70 67 26 31 8 17 48
1 2 4 5 18 2 4 1 7 5
0.5 1 0 0 0 0 0 0 0 0
6 89 96 78 60 84 94 54 98 98
5 74 96 81 63 87 94 59 96 96
4 52 93 86 66 88 88 65 93 93
3 26 78 89 71 81 67 68 89 88
2 9 37 78 78 50 28 54 81 81
1 2 2 20 62 6 1 11 63 63
0.5 1 0 0 9 0 0 1 15 19
6 90 98 83 63 96 96 78 99 99
5 74 98 88 68 95 95 82 98 98
4 53 96 91 70 88 85 82 96 96
3 25 80 94 77 68 63 75 92 91
2 8 43 86 86 31 27 47 89 86
1 2 2 23 70 1 1 6 80 77
0.5 1 0 1 13 0 0 0 7 21
6 89 98 83 64 93 93 51 99 99
5 75 98 86 66 94 94 55 98 98
4 51 96 92 71 91 91 60 97 96
3 26 82 95 77 82 80 67 93 93
2 8 45 85 87 52 50 69 87 86
1 2 4 28 72 7 7 32 75 72
0.5 1 0 1 20 0 1 8 25 30
6 20 79 90 73 83 83 57 88 83
5 12 61 89 77 76 76 59 85 82
4 7 39 80 81 61 61 62 81 76
3 3 16 59 81 37 37 55 76 72
2 1 2 22 64 12 12 33 65 61
1 1 0 1 8 1 1 3 7 10
0.5 0 0 0 0 0 0 0 0 1
6 32 72 85 68 72 72 20 34 77
5 16 45 79 70 51 51 15 59 82
4 6 23 49 42 30 31 6 16 55
3 3 2 10 0 5 5 0 0 34
2 2 0 0 0 1 1 0 0 7
1 1 0 0 0 0 0 2 0 0
1 1 0 0 0 0 0 0 0 0
6 25 77 88 71 83 83 54 85 85
5 15 59 87 75 78 79 57 82 82
4 9 36 78 78 65 65 62 78 78
3 4 14 56 78 40 40 58 74 72
2 2 1 19 61 14 14 36 62 61
1 1 0 1 6 1 1 2 3 6
0 0 0 0 0 0 0 0 0 1
6 24 82 95 76 80 81 82 93 93
5 15 64 93 80 66 66 73 90 89
4 8 44 86 87 47 47 61 89 86
3 4 19 64 88 24 24 36 84 82
2 2 3 30 73 7 7 14 71 69
1 1 0 0 3 0 0 0 0 3
1 0 0 0 0 0 0 0 1 1
6 25 81 94 77 89 89 63 93 92
5 16 67 92 81 82 82 65 92 90
4 9 43 85 88 65 65 69 89 87
3 5 19 65 88 40 41 68 84 83
2 2 2 26 72 9 10 45 77 71
1 1 0 1 15 1 1 7 20 29
1 0 0 0 0 0 0 1 0 0
unfiltered
1x
1.5x
2.5x
light
medium
strong
AWS
AWSOM
Gaussian
SANLM